

УДК 549.672.4(571.54)

МИНЕРАЛОГИЯ

А. П. ХОМЯКОВ, З. Т. КАТАЕВА, Т. А. КУРОВА,
Е. С. РУДНИЦКАЯ, Н. Н. СМОЛЬЯНИНОВА

БРЮСТЕРИТ — ПЕРВАЯ НАХОДКА В СССР

(Представлено академиком Н. В. Беловым 14 IV 1969)

Брюстерит — цеолит состава $(\text{Sr}, \text{Ba}, \text{Ca})\text{Al}_2\text{Si}_6\text{O}_{16} \cdot 5\text{H}_2\text{O}$ — впервые описан в 1822 г. в Стронциане, Шотландия⁽¹⁾.

В 1963 г. этот минерал был встречен одним из авторов (А. П. Хомяковым) в массиве Бурпала, Северное Прибайкалье⁽²⁾, в зоне трещиноватости, рассекающей аплиты и альбитизированные сиениты. Минерал в виде друзовых корочек и сплошных масс выстилает стенки пустот и трещин (рис. 1). Местами совместно с ним встречаются десмин, гейландит, натролит и пирит.

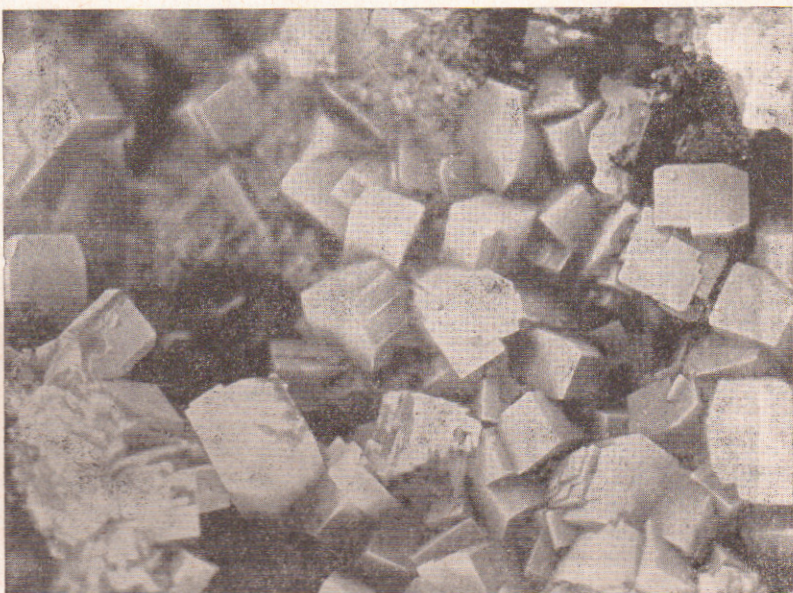


Рис. 1. Кристаллы брюстерита на стенке трещины в аплите. Напылено MgO . $20\times$

Кристаллы брюстерита до 1,5 мм длиною и до 1 мм в поперечнике (чаще значительно меньше) вытянуты по оси *a* и несколько уплощены по (010) (рис. 2). Принятая нами установка совпадает с рентгеновской и отличается от первоначально принятой Бруком⁽¹⁾ взаимным перемещением осей *a* и *c*. Н. Н. Смольяниновой на двухружном гониометре Гольдшмидта измерено 7 кристаллов. Значения ϕ и ρ , измеренные и вычисленные из рентгеновских данных, приведены в табл. 1. Морфологическое отношение осей $a : b : c = 0,3944 : 1 : 0,4459$, вычисленное из сферических координат гра-

ней f (610) и k (011), близко к рентгеновскому (см. ниже). На всех измеренных кристаллах наблюдалось полное развитие форм c (001), a (100), b (010) и k (011).

Границы f (610) и l (052) — более матовые и встречаются только на одном кристалле.

Минерал бесцветный, прозрачный, в сплошных выделениях белый, кремовый, желтовато-зеленый. Блеск стеклянный до перламутрового на плоскости спайности. Спайность совершенная по (010). Хрупкий. Микротвердость (твёрдость вдавливания), измеренная С. И. Лебедевой на приборе ПМТ-3 при нагрузках 30 и 40 г на различных неориентированных сечениях в полированном брикете, находится в пределах 172—330 кГ/мм², что по шкале Мооса примерно соответствует 4—4,5. Удельный вес, определенный В. Ф. Недобой методом гидростатического взвешивания, равен 2,32. Показатели преломления, измеренные в иммерсии методом фокального экранирования, равны $n_g = 1,522$; $n_m = 1,510$; $n_p = 1,506$; $+2V = 60^\circ$. Плоскость оптических осей и N_g перпендикулярны (010), $aN_p = 28^\circ$ в тупом углу β .

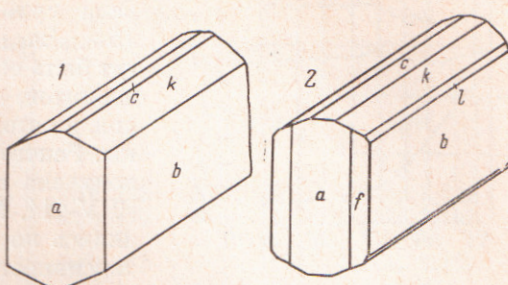


Рис. 2. Формы кристаллов брюстерита

Кристаллографические формы брюстерита

Таблица 1

Формы	Измеренные						Вычисл. из рентгеноносских данных	
	пределы колебания		средние		Ф	ρ		
	Ф	ρ	Ф	ρ				
c (001)	89°58'—90°02'	4°15'—4°20'	90°00'	4°18'	90°00'	4°16'		
a (100)	89°55'—90°00'	89°57'—90°05'	90°00'	90°00'	90°00'	90°00'		
b (010)	0°00'—0°06'	89°56'—90°02'	0°00'	90°00'	0°00'	90°00'		
f (610)	86°13'—86°17'	89°59'—90°01'	86°15'	90°00'	86°18'	90°00'		
k (011)	9°26'—9°40'	23°08'—25°00'	9°36'	24°20'	9°34'	24°11'		
l (052)	3°46'—3°50'	47°50'—48°00'	3°48'	47°55'	3°51'	48°01'		

Химический анализ брюстерита выполнен З. Т. Катаевой. Щелочи определялись методом фотометрии пламени. Результаты анализа, пересчитанные на 8(Si + Al), приводят к эмпирической формуле $(\text{Sr}_{0,75}\text{Ba}_{0,13}\text{Ca}_{0,09}\text{Na}_{0,04}\text{K}_{0,02})_{1,03}\text{Al}_{2,06}\text{Si}_{5,94}\text{O}_{15,97} \cdot 5,04\text{H}_2\text{O}$, близкой к теоретической:

Компонент	SiO_2	Al_2O_3	Fe_2O_3	CaO	SrO	BaO	Na_2O	K_2O	H_2O	Σ
Содерж. вес. %	54,02	15,86	0,11	0,80	11,80	3,01	0,21	0,14	13,72	99,67
Атомн. колич.	0,899	0,311	0,001	0,014	0,114	0,020	0,007	0,003	1,524	

Спектральным анализом в брюстерите отмечена примесь Ga, Mg, Mn, Zn, Pb, Cu.

Рентгеноструктурное исследование брюстерита выполнено Т. А. Куровой. В камере РКОП установлена моноклинная сингония минерала и определен класс Лауз 2 / m . По рентгенограммам качания (медное излучение) были определены параметры решетки, которые впоследствии уточнялись по дебаеграмме: $a_0 = 6,82 \pm 0,01$; $b_0 = 17,51 \pm 0,02$; $c_0 = 7,75 \pm 0,01$ Å, $\beta = 94^\circ 16' \pm 5'$, $a_0 : b_0 : c_0 = 0,389 : 1 : 0,443$. Эти данные весьма близки к полученным Перотта и Смитом ⁽³⁾ для минерала из Стронциана (пространственная группа $P2_1 / m$, $a_0 = 6,77$; $b_0 = 17,51$; $c_0 = 7,74$ Å $\pm 0,05\%$,

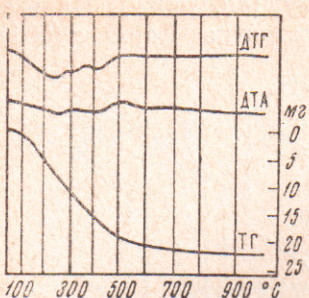


Рис. 3. Термограмма брюстерита. Навеска 156,3 мг. Потеря веса 21,6 мг (дериватограф ИГЕМ АН СССР)

нного методом термографии и и.-к. спектроскопии. Потеря веса при нагревании до 1000° составляет 13,8% (рис. 3), что соответствует содержанию в минерале воды по данным химического анализа. Дегидратация в процессе нагревания происходит не постепенно, а распадается на ряд

$\beta = 94^{\circ}18' + 3'$, $a_0 : b_0 : c_0 = 0,385 : 1 : 0,440$). Близкие значения параметров решетки минерала при различии химического состава — ($Sr_{0,75}Ba_{0,13}Ca_{0,09}$) и ($Sr_{0,58}Ba_{0,30}Ca_{0,14}$) — могут быть объяснены особенностями структуры цеолитов, а именно наличием больших каналов, в которых располагаются крупные катионы. Рентгенограмма порошка (табл. 2) была получена на хромовом излучении в камере РКУ-114. Межплоскостные расстояния уточнялись по внутреннему стандарту $NaCl$. Интенсивности линий оценивались визуально по

шкале из марок почернения с шагом $\sqrt[4]{2}$. Хорошее совпадение $d_{\text{эксп}}$ и $d_{\text{выч}}$ говорит о надежности установленных параметров.

Для определения формы вхождения воды в брюстерит было проведено изучение послед-

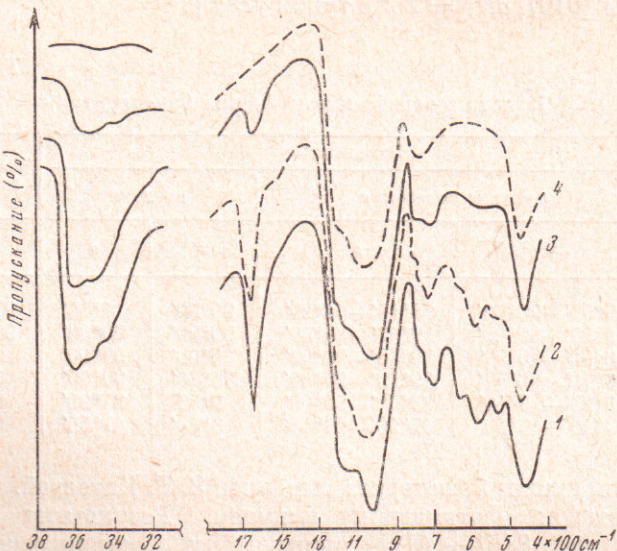


Рис. 4. И.-к. спектры брюстерита. 1 — исходный образец; 2—4 — образцы, прогретые при 300; 450 и 500°

температурных ступеней с максимумами примерно при 250, 350 и 450°. Анализ и.-к. спектров брюстерита (рис. 4), полученных Е. С. Рудницкой, показывает, что в валентной области колебаний гидроксилов наблюдается интенсивная широкая полоса поглощения с тремя слабо проявленными максимумами: 3620; 3550; 3450 cm^{-1} . Деформационные колебания гидроксилов молекулярной воды представлены узкой полосой около 1630 cm^{-1} . Наличие трех максимумов на термограмме и полосе валентных колебаний OH в и.-к. спектре указывает на присутствие в брюстерите трех типов молекулярной воды, различающихся своими энергетическими связями со структурой минерала. Это хорошо согласуется с данными Перотта и Смита (3), в соответствии с которыми расстояния между каждой из пяти молекул воды, окружающих атом Sr, и ближайшими к ней кислородами структуры или соседними молекулами воды равны: I. $H_2O_{(4)}$ 2,90; 3,02; 3,05 Å. II. $H_2O_{(1)}$ 2,96;

Таблица 3

Расчет дебаеграммы брюстерита

hkl	I	$d, \text{ \AA}$		hkl	I	$d, \text{ \AA}$	
		эксп.	выч.			эксп.	выч.
020	3	8,81	8,76	300; 242	32	2,265	2,264; 2,268
001	2	7,78	7,73	080; 320	19	2,187	2,189; 2,192
011	3	7,13	7,07	242	27	2,146	2,146
100	46	6,79	6,79	330; 081	23	2,107	2,111; 2,106
110	84	6,31	6,33	331	27	2,069	2,072
101	2	5,29	5,30	153; 252	50	2,016	2,019; 2,014
111	60	5,06	5,07	341; 271	10	1,973	1,978; 1,971
101	4	4,92	4,92	153	20	1,950	1,952
111; 031	70	4,65	4,74; 4,66	302; 091; 262;	23	1,888	1,893; 1,887; 1,882;
121	60	4,52	4,53	163			1,886
121	2	4,28	4,29	163	3	1,831	1,831
131	46	3,92	3,92	272	3	1,816	1,819
002	5	3,86	3,86	073; 360	5	1,791	1,795; 1,789
131	39	3,77	3,76	010.0; 272	35	1,751	1,751; 1,755
140	9	3,68	3,68	092	7	1,737	1,738
022	46	3,53	3,54	173	19	1,717	1,714
200; 112; 141	32	3,40	3,40; 3,41; 3,38	110.0; 290;	17	1,691	1,696; 1,688; 1,688
141	60	3,27	3,27	282			
112	39	3,19	3,20	371; 291	50	1,662	1,660; 1,662
150; 211	16	3,11	3,11; 3,15	282, 291	14	1,637	1,636; 1,637
122; 201	42	3,05	3,05; 3,04	371	16	1,619	1,622
132; 211	4	2,979	2,984; 2,983	292, 372	7	1,570	1,569; 1,572
060; 151	100	2,922	2,922; 2,918	—	17	1,556	—
151; 132	4	2,848	2,854; 2,844	—	17	1,525	—
231	5	2,798	2,805	—	4	1,478	—
142	42	2,724	2,720	—	9	1,463	—
160; 240	17	2,677	2,683; 2,682	—	17	1,448	—
142	16	2,616	2,613	—	9	1,430	—
003	39	2,575	2,576	—	17	1,404	—
161	16	2,509	2,511	—	17	1,368	—
202	16	2,459	2,462	—	23	1,338	—
232	10	2,414	2,414	—	17	1,318	—
222	5	2,373	2,370	—	10	1,286	—
170	32	2,345	2,348	—	17	1,280	—
				—	14	1,271	—
				—	17	1,252	—

Приложение. Условия съемки: $\lambda_{\text{Cr}} = 2R = 114 \text{ мкм}$.

2,96; 3,05 Å. III. $2\text{H}_2\text{O}_{(2)}$ 3,02; 3,04; 3,07 Å; $\text{H}_2\text{O}_{(3)}$ 3,02; 3,04; 3,17 Å. Вода III группы, в которую входят три молекулы, вероятно, наиболее подвижна. Она уходит из брюстерита при $t \approx 250^\circ$, что по кривой потери веса соответствует примерно 50% всей воды, содержащейся в минерале. При $t \approx 350^\circ$ уходит II группа молекул H_2O и при $t \approx 450^\circ$ — I группа. Последняя содержит наименее подвижную воду и, согласно данным я.м.р., соответствует компоненте «жестко» связанных молекул H_2O (4).

Изученные образцы брюстерита переданы в Минералогический музей АН СССР и Музей минералогии и геохимии редких элементов Института минералогии, геохимии и кристаллохимии редких элементов.

Поступило
12 IV 1969

ЦИТИРОВАННАЯ ЛИТЕРАТУРА

- ¹ Brooke, Edinb. Phil. J., 6 (1822). ² А. Я. Жидков, ДАН, 140, № 1 (1961).
³ A. J. Perotta, J. V. Smith, Acta crystallogr., 17, Part 7 (1964). ⁴ И. А. Белицкий, С. П. Габуда, Геология и геофизика, № 6 (1968).